Warszawa, dn. 2026-11-12

T-Mobile Polska S.A.
ul. Marynarska 12
02-674 Warszawa

Pełnomocnik: Magdalena Małek
Pełnomocnictwo numer: 265/05/26
z dnia: 2026-05-11

dane do korespondencji:
NetWorks Sp. z o.o.
ul. Józefa Piusa Dziekońskiego 3
00-728 Warszawa
tel. 518427631
AE:PL-75331-40483-VAGTH-20

Starosta Pułtuski

Starostwo Powiatowe w Pułtusku

ul. Marii Skłodowskiej-Curie 11

06-100 Pułtusk

AE:PL-99737-85078-WWVCJ-22

Dotyczy: ustawowego obowiązku, wynikającego z art. 152 ust. 1 i ust. 7 w związku z ust. 6 pkt 1c ustawy z dnia 27 kwietnia 2001r – Prawo ochrony środowiska (Dz.U. 2025 poz. 647).

Działając z upoważnienia T-Mobile Polska S.A. z siedzibą ul. Marynarska 12, 02-674 Warszawa, **informuję o zmianie danych w zakresie wielkości i rodzaju emisji** dla instalacji radiokomunikacyjnej **22529 (93030N!) WCI_WINNICA_WINNICA** zlokalizowanej w miejscowości WINNICA DZ.155/4. W stosunku do informacji zawartej w zgłoszeniu realizowanym dla tej instalacji w trybie art. 152 ust. 1 i 5 ustawy z dnia 27 kwietnia 2001r – Prawo ochrony środowiska (Dz.U. 2025 poz. 647), dane ulegają zmianie w następujący sposób:

9. Wielkość i rodzaj emisji[2]:

Pole elektromagnetyczne. EIRP poszczególnych anten zostało podane w pkt 12, tj.

Lp.	Równoważna moc promieniowana izotropowo (EIRP) [W]
1.	20498
2.	16223
3.	57572
4.	20498
5.	16223
6.	57572
7.	20498

Lp.	Równoważna moc promieniowana izotropowo (EIRP) [W]
8.	16223
9.	57572
10.	2239
11.	4179/39811
12.	11247/39811
13.	1

12. Szczegółowe dane, odpowiednio do rodzaju instalacji, zgodne z wymaganiami określonymi w załączniku nr 2 do Rozporządzenia:

Lp. / Lp.	1)	2)	3)	4)	5)	
	Współrzędne geograficzne	**Częstotliwość lub zakresy częstotliwości pracy instalacji** *[MHz]*	**Wysokość środka elektrycznego anteny** *[m n.p.t]*	**Równoważna moc promieniowana izotropowo (EIRP)** *[W]*	**Azymut** *[°]*	**Kąt pochylenia lub zakresy kątów pochylenia** *[°]*
1.	20°56'42.3" 52°38'30.3"	800/900/1800/ 2100	47.5	20498	60	0-10/0-10/ 2-12/2-12
2.	20°56'42.3" 52°38'30.3"	700/900/2600	47.5	16223	60	0-10/0-10/ 2-12
3.	20°56'42.3" 52°38'30.3"	3600	47.5	57572	60	-2-13
4.	20°56'42.2" 52°38'30.2"	800/900/1800/ 2100	47.5	20498	180	0-10/0-10/ 2-12/2-12
5.	20°56'42.2" 52°38'30.2"	700/900/2600	47.5	16223	180	0-10/0-10/ 2-12
6.	20°56'42.1" 52°38'30.2"	3600	47.5	57572	180	-2-13
7.	20°56'42.1" 52°38'30.3"	800/900/1800/ 2100	47.5	20498	300	0-10/0-10/ 2-12/2-12
8.	20°56'42.1" 52°38'30.3"	700/900/2600	47.5	16223	300	0-10/0-10/ 2-12
9.	20°56'42.1" 52°38'30.3"	3600	47.5	57572	300	-2-13
10.	20°56'42.2" 52°38'30.3"	23000	44	2239	57*	nd.
11.	20°56'42.1" 52°38'30.2"	18000/80000	43	4179/39811	244*	nd.
12.	20°56'42.1" 52°38'30.2"	23000/80000	45	11247/39811	331*	nd.
13.	20°56'42.2" 52°38'30.3"	38000	45	1	342*	nd.

**) tolerancja azymutu od -10° do + 10°.*

Informuję, iż dokonane zmiany w zakresie wielkości i rodzaju emisji przedmiotowej instalacji nie powodują zmiany instalacji w sposób istotny zgodnie z art. 3 pkt 7 ustawy Poś.

W załączniku przesyłam:

1. Pełnomocnictwo
2. Kopia potwierdzenia wniesienia opłaty skarbowej.
3. Sprawozdanie z pomiarów pól elektromagnetycznych wykonanych dla celów ochrony środowiska.

Otrzymują:

1. a/a
2. adresat



Signed by / Podpisano przez:

Magdalena Patrycja Małek

Date / Data: 2026-11-12 17:37

NetWorks Sp. z o.o.
Laboratorium Badań Środowiskowych
ul. Józefa Piusa Dziekońskiego 3
00-728 Warszawa
e-mail: Laboratorium@networks.pl

AB 419

S P R A W O Z D A N I E 10562/2026/OS
Z POMIARÓW PÓL ELEKTROMAGNETYCZNYCH
WYKONANYCH DLA POTRZEB OCHRONY ŚRODOWISKA

Badany obiekt: Instalacja radiokomunikacyjna T-Mobile Polska S.A.
Numer i nazwa: 22529 (93030N!) WCI_WINNICA_WINNICA
Adres: WINNICA DZ.155/4, Powiat pułtuski, WOJ. MAZOWIECKIE

Data wykonania pomiarów: 2026-11-05

Sprawozdanie z badań bez pisemnej zgody laboratorium nie może być powielane inaczej niż w całości.
Wyniki przedstawione w niniejszym sprawozdaniu odnoszą się wyłącznie do badanego obiektu i do warunków i konfiguracji urządzeń w dniu wykonywania pomiarów.

1. **Właściciel badanego obiektu:**
   T-Mobile Polska S.A., ul. Marynarska 12, 02-674 Warszawa

2. **Zleceniodawca:**
   T-Mobile Polska S.A., ul. Marynarska 12, 02-674 Warszawa

3. **Przedstawiciel zleceniodawcy:**
   NetWorks Sp. z o.o.

4. **Zakres zlecenia:**
   Wykonanie badania i opracowanie sprawozdania z pomiarów natężenia pola elektrycznego i pola magnetycznego dla instalacji radiokomunikacyjnej T-Mobile Polska S.A. zlokalizowanej w miejscowości WINNICA DZ.155/4.

5. **Cel zlecenia:**
   Wykonanie pomiarów pól elektomagnetycznych w otoczeniu instalacji radiokomunikacyjnej 22529 (93030N!) WCI_WINNICA_WINNICA w odniesieniu do wymagań określonych w *Rozporządzeniu Ministra Klimatu z dnia 17 lutego 2020 r. w sprawie sposobów sprawdzania dotrzymania dopuszczalnych poziomów pól elektromagnetycznych w środowisku (Dz.U. 2022 poz. 2630).*

6. **Pomiary zostały wykonane przez:**
   Duszczyk Michał
   Stanilewicz Tomasz

7. **Informacje o źródłach pól elektromagnetycznych**

7.1. Sposób identyfikacji badanych źródeł pól elektromagnetycznych

Identyfikacji źródeł i parametrów technicznych dokonano na podstawie analizy dokumentacji dotyczącej zlecenia oraz obserwacji miejsca wykonywania badań.

7.2. Opis miejsca zainstalowania anten i urządzeń technicznych. Opis obiektu badań i jego otoczenia

Instalacja radiokomunikacyjna zlokalizowana jest na terenie ogrodzonym. Anteny zawieszono na wieży kratowej. Urządzenia sterujące oraz zasilające zainstalowano w kontenerze u podstawy wieży. Wokół instalacji znajduje się miasto.

Instalacja radiokomunikacyjna jest obiektem bezobsługowym. Okresowe stanowiska pracy związane są z prowadzonymi w zależności od potrzeb konserwacjami, przeglądami, strojeniem i naprawami.

Sprawozdanie z badań bez pisemnej zgody laboratorium nie może być powielane inaczej niż w całości.
Wyniki przedstawione w niniejszym sprawozdaniu odnoszą się wyłącznie do badanego obiektu i do warunków i konfiguracji urządzeń w dniu wykonywania pomiarów.

7.3. Parametry techniczne źródła pola elektromagnetycznego

Dane przedstawiające maksymalne parametry pracy instalacji przekazane przez zleceniodawcę:

Parametry systemu nadawczo-odbiorczego:

Charakterystyka promieniowania	Kierunkowa
Rzeczywisty czas pracy [h/dobę]	24
Warunki pracy	Znamionowe
Rodzaj wytwarzanego pola	Stacjonarne

Lp.	Częstotliwość lub zakresy częstotliwości pracy [MHz]	Typ/producent anteny	liczba anten	Azymut [°]	kąt pochylenia [°]	Wysokość środka elektrycznego anteny [m n.p.t]	Równoważna moc promieniowana izotropowo (EIRP) [W]
1	800/900/1800/2100	AQU4518R25v18 Huawei	1	60	0-10**/0-10**/2-12**/2-12**	47.5	20498
2	700/900/2600	AQU4518R25v18 Huawei	1	60	0-10**/0-10**/2-12**	47.5	16223
3	3600	AAU5339W Huawei	1	60	-2-13**	47.5	57572
4	800/900/1800/2100	AQU4518R25v18 Huawei	1	180	0-10**/0-10**/2-12**/2-12**	47.5	20498
5	700/900/2600	AQU4518R25v18 Huawei	1	180	0-10**/0-10**/2-12**	47.5	16223
6	3600	AAU5339W Huawei	1	180	-2-13**	47.5	57572
7	800/900/1800/2100	AQU4518R25v18 Huawei	1	300	0-10**/0-10**/2-12**/2-12**	47.5	20498
8	700/900/2600	AQU4518R25v18 Huawei	1	300	0-10**/0-10**/2-12**	47.5	16223
9	3600	AAU5339W Huawei	1	300	-2-13**	47.5	57572

* wskazane wartości kąta pochylenia anten, zgodnie z informacją uzyskaną od zleceniodawcy, są wartościami stałymi
** pomiary wykonano zgodnie z pkt 13., ppkt 2 załącznika do Rozporządzenia Ministra Klimatu z dnia 17 lutego 2020 r. (Dz. U. 2022, poz. 2630).

Parametry radiolinii:

Charakterystyka promieniowania	kierunkowa
Rzeczywisty czas pracy [h/dobę]	24
Warunki pracy	znamionowe
Rodzaj wytwarzanego pola	stacjonarne

Lp.	Linia radiowa			Antena			
	Typ/ Producent	Częstotliwość pracy [GHz]	Równoważna moc promieniowana izotropowo (EIRP) [W]	Typ/ producent	Średnica anteny [m]	Azymut [°]	Wysokość zainstalowania n.p.t [m]
1.	ERICSSON CN510 6363 Ericsson	23	2239	ANT3_0.6 23 HP/HPX Ericsson	0.6	57	44
2.	RTN XMC-5D 18G 56MHz XPIC/ RTN 380AXH 70/80GHz 500MHz Huawei	18/80	4179/39811	A18D80S06 Huawei	0.6	244	43
3.	RTN XMC-5D Pro 23G 28MHz XPIC/ RTN 380AXH 70/80GHz 250MHz Huawei	23/80	11247/39811	A23D80S06 Huawei	0.6	331	45
4.	Ericsson CN510 RAU2X Ericsson	38	1	ANT2_0.3 38 HP Ericsson	0.3	342	45

Sprawozdanie z badań bez pisemnej zgody laboratorium nie może być powielane inaczej niż w całości.
Wyniki przedstawione w niniejszym sprawozdaniu odnoszą się wyłącznie do badanego obiektu i do warunków i konfiguracji urządzeń w dniu wykonywania pomiarów.

7.4 Inne źródła pól elektromagnetycznych

Na podstawie informacji otrzymanych od użytkownika oraz obserwacji otoczenia miejsca wykonywania pomiarów nie stwierdzono występowania innych źródeł pola-EM.

8. Opis pomiarów

8.1. Metoda badań

Zgodna z rozporządzeniem Ministra Klimatu z dnia 17 lutego 2020 r. w sprawie sposobów sprawdzania dotrzymania dopuszczalnych poziomów pól elektromagnetycznych w środowisku (Dz.U. 2022 poz. 2630), określona w pkt 25 ppkt 1 załącznika do niniejszego rozporządzenia.

8.2. Termin pomiarów i warunki środowiskowe

Podczas wykonywania pomiarów pól elektromagnetycznych nie występowały opady atmosferyczne. Wyniki pomiaru parametrów pogodowych przedstawia poniższa tabela:

Data [rrrr-mm- dd]	Godzina [hh:mm-hh:mm]	Warunki środowiskowe			
		Temperatura [°C]		Wilgotność względna [%]	
		Przed pomiarem	Po pomiarach	Przed pomiarem	Po pomiarach
2026-11-05	09:55-10:55	6.3	8.1	64.2	63.7

Przedstawione wyżej warunki środowiskowe, występujące podczas wykonywania pomiarów pól elektromagnetycznych, są zgodne ze specyfikacją techniczną użytego zestawu pomiarowego.

8.3. Warunki pracy urządzeń nadawczych

Podczas pomiarów w przypadku uzyskania wyniku pomiaru szerokopasmowego wykonanego zastosowaną metodą, dla zakresów częstotliwości od 10 MHz do 300 GHz, powiększonego o rozszerzoną niepewność pomiaru U dla współczynnika rozszerzenia k = 2 przekraczającego 70% najniższej dopuszczalnej wartości składowej elektrycznej lub magnetycznej pola dla objętych pomiarami zakresów częstotliwości, uwzględnia się poprawki pomiarowe przekazane przez zleceniodawcę, umożliwiające uwzględnienie maksymalnych parametrów pracy instalacji zgodnie z pkt 7 załącznika do Rozporządzeniem Ministra Klimatu z dnia 17 lutego 2020 r. w sprawie sposobów sprawdzania dotrzymania dopuszczalnych poziomów pól elektromagnetycznych w środowisku (Dz. U. 2022, poz. 2630) zaznaczając, że wymagane jest wykonanie pomiaru z wykorzystaniem miernika selektywnego. W przypadku uzyskania wyniku pomiaru szerokopasmowego wykonanego zastosowaną metodą, dla zakresów częstotliwości od 10 MHz do 300 GHz, powiększonego o rozszerzoną niepewność pomiaru U dla współczynnika rozszerzenia k = 2 nieprzekraczającego 70% najniższej dopuszczalnej wartości składowej elektrycznej lub magnetycznej pola dla objętych pomiarami zakresów częstotliwości, nie uwzględnia się poprawek pomiarowych.

8.4. Wyposażenie pomiarowe

Zestaw pomiarowy służący do pomiaru natężenia składowej elektrycznej pola elektromagnetycznego złożony z szerokopasmowego miernika i sondy pomiarowej:

Oznaczenie miernika	Producent	Model	Numer fabryczny	Oznaczenie sondy	Producent	Model	Numer fabryczny
MF-07	Narda Safety Test Solution	Miernik pól elektromagnetycznych Narda FieldMan	C-0170	SF-13	Narda Safety Test Solution	Sonda EFD-9091	A-0066

Mierniki natężenia pola elektromagnetycznego podlegają okresowemu sprawdzeniu zgodnie z procedurą wewnętrzną P-03 i PB-01. Świadectwo wzorcowania zestawu pomiarowego z dnia 2 grudnia 2024 o numerze LWiMP/W/418/24 wydane przez Politechnika Wrocławska. Data następnego wzorcowania: 2 grudnia 2026 (zgodnie z procedurą wewnętrzną P-03).

Oznaczenie miernika	Producent	Model	Numer fabryczny	Oznaczenie sondy	Producent	Model	Numer fabryczny
MF-07	Narda Safety Test Solution	Miernik pól elektromagnetycznych Narda FieldMan	C-0170	SF-14	Narda Safety Test Solution	Sonda EFD-0691	A-0076

Mierniki natężenia pola elektromagnetycznego podlegają okresowemu sprawdzeniu zgodnie z procedurą wewnętrzną P-03 i PB-01. Świadectwo wzorcowania zestawu pomiarowego z dnia 19 lutego 2026 o numerze LWiMP/W/079/26 wydane przez Politechnika Wrocławska. Data następnego wzorcowania: 18 lutego 2028 (zgodnie z procedurą wewnętrzną P-03).

Sprawozdanie z badań bez pisemnej zgody laboratorium nie może być powielane inaczej niż w całości.
Wyniki przedstawione w niniejszym sprawozdaniu odnoszą się wyłącznie do badanego obiektu i do warunków i konfiguracji urządzeń w dniu wykonywania pomiarów.

Termohigrometr:

Oznaczenie:	TH-36	Producent:	TESTO	Model:	Termohigrometr TESTO 625

Data następnego wzorcowania: 20 lutego 2028 (zgodnie z procedurą wewnętrzną P-03).

Dalmierz:

Oznaczenie	Producent	Typ	Numer seryjny	Nr świadectwa wzorcowania	Data świadectwa wzorcowania
D-21	Leica	Dalmierz Leica Disto D510	1030440462	Z3-Z32.4180.152.2023.3253.4	23 października 2023

Data następnego wzorcowania: 23 października 2033 (zgodnie z procedurą wewnętrzną P-03).

Odbiornik GNSS:

Odbiornik GNSS wbudowany w miernik natężenia pola elektromagnetycznego użyty podczas pomiarów	Producent	Model
	UBlox	NEO-M8T

Odbiorniki podlegają okresowemu sprawdzeniu zgodnie z procedurą wewnętrzną P-03.

9. Wyniki pomiarów

Pomiary wykonano na terenach przeznaczonych pod zabudowę mieszkaniową w obszarze pomiarowym, w którym na podstawie uprzednio przeprowadzonych obliczeń (OOP* 4669/2026/OOP), stwierdzono występowanie w danych zakresach częstotliwości pól elektromagnetycznych o poziomach zbliżonych do poziomów dopuszczalnych, określonych w przepisach wydanych na podstawie art. 122 ust. 1 ustawy z dnia 27 kwietnia 2001 r. – Prawo ochrony środowiska.
*OOP - Obligatoryjny Obszar Pomiarowy - opracowanie przedstawia przewidywane rozkłady pól elektromagnetycznych w otoczeniu instalacji radiokomunikacyjnej.

Pole elektryczne

Nr pionu	Opis umiejscowienia pionu (punktu) pomiarowego	Wysokość pomiaru [m]	Zmierzona wartość natężenia pola elektrycznego E [V/m][1,5]			Wartość natężenia pola elektrycznego powiększona o niepewność pomiaru [4] E [V/m]	Wskaźnikowa wartość poziomu emisji pól elektromagnetycznych WM_E[3]	Współrzędne geograficzne pionu (punktu) pomiarowego[2]
			Sonda SF-13	Sonda SF-14	Wartość			
1	DPP - w płaszczyźnie otworu okiennego budynku mieszkalnego, na parterze, Szkolna 8, Winnica	0.3-2.0	<1.0*	<1.0*	<1.0*	1.3	0.05	52°38'29.8" 20°56'43.8"
2	GKP w odległości poziomej 12m od anteny radioliniowej az. 57°	0.3-2.0	<1.0*	<1.0*	<1.0*	1.3	0.05	52°38'30.5" 20°56'42.7"
3	GKP w odległości poziomej 46m od anteny radioliniowej az. 57°	0.3-2.0	<1.0*	<1.0*	<1.0*	1.3	0.05	52°38'31.2" 20°56'44.2"
4	GKP w odległości poziomej 33m od anteny sektorowej az. 60°	0.3-2.0	<1.0*	<1.0*	<1.0*	1.3	0.05	52°38'30.8" 20°56'43.8"
5	GKP w odległości poziomej 66m od anteny sektorowej az. 60°	0.3-2.0	<1.0*	<1.0*	<1.0*	1.3	0.05	52°38'31.2" 20°56'45.2"
6	GKP w odległości poziomej 95m od anteny sektorowej az. 60°	0.3-2.0	<1.0*	<1.0*	<1.0*	1.3	0.05	52°38'31.9" 20°56'46.7"
7	GKP w odległości poziomej 126m od anteny sektorowej az. 60°	2.0	1.3	1.3	1.3	1.7	0.06	52°38'32.3" 20°56'48.1"
8	GKP w odległości poziomej 10m od anteny sektorowej az. 180°	0.3-2.0	<1.0*	<1.0*	<1.0*	1.3	0.05	52°38'29.8" 20°56'42.4"
9	GKP w odległości poziomej 47m od anteny sektorowej az. 180°	0.3-2.0	<1.0*	<1.0*	<1.0*	1.3	0.05	52°38'28.7" 20°56'42.0"
10	GKP w odległości poziomej 88m od anteny sektorowej az. 180°	0.3-2.0	<1.0*	<1.0*	<1.0*	1.3	0.05	52°38'27.2" 20°56'42.0"
11	GKP w odległości poziomej 126m od anteny sektorowej az. 180°	2.0	1.4	1.4	1.4	1.8	0.07	52°38'26.2" 20°56'42.0"
12	GKP w odległości poziomej 11m od anteny radioliniowej az. 244°	0.3-2.0	<1.0*	<1.0*	<1.0*	1.3	0.05	52°38'30.1" 20°56'41.6"
13	GKP w odległości poziomej 53m od anteny radioliniowej az. 244°	0.3-2.0	<1.0*	<1.0*	<1.0*	1.3	0.05	52°38'29.4" 20°56'39.5"
14	GKP w odległości poziomej 12m od anteny sektorowej az. 300°	0.3-2.0	<1.0*	<1.0*	<1.0*	1.3	0.05	52°38'30.5" 20°56'41.6"

Sprawozdanie z badań bez pisemnej zgody laboratorium nie może być powielane inaczej niż w całości.
Wyniki przedstawione w niniejszym sprawozdaniu odnoszą się wyłącznie do badanego obiektu i do warunków i konfiguracji urządzeń w dniu wykonywania pomiarów.

15	GKP w odległości poziomej 49m od anteny sektorowej az. 300°	0.3-2.0	<1.0*	<1.0*	<1.0*	1.3	0.05	52°38'31.2" 20°56'39.8"
16	GKP w odległości poziomej 90m od anteny sektorowej az. 300°	0.3-2.0	<1.0*	<1.0*	<1.0*	1.3	0.05	52°38'31.9" 20°56'38.0"
17	GKP w odległości poziomej 123m od anteny sektorowej az. 300°	0.3-2.0	<1.0*	<1.0*	<1.0*	1.3	0.05	52°38'32.3" 20°56'36.6"
18	GKP w odległości poziomej 14m od anteny radioliniowej az. 331°	0.3-2.0	<1.0*	<1.0*	<1.0*	1.3	0.05	52°38'30.5" 20°56'42.0"
19	GKP w odległości poziomej 54m od anteny radioliniowej az. 331°	0.3-2.0	<1.0*	<1.0*	<1.0*	1.3	0.05	52°38'31.9" 20°56'40.9"
20	GKP w odległości poziomej 20m od anteny radioliniowej az. 342°	0.3-2.0	<1.0*	<1.0*	<1.0*	1.3	0.05	52°38'30.8" 20°56'42.0"
21	GKP w odległości poziomej 50m od anteny radioliniowej az. 342°	0.3-2.0	<1.0*	<1.0*	<1.0*	1.3	0.05	52°38'31.9" 20°56'41.3"
22	PKP na az. 14° w odległości poziomej 56m od anteny sektorowej az. 60°	0.3-2.0	<1.0*	<1.0*	<1.0*	1.3	0.05	52°38'31.9" 20°56'43.1"
23	PKP na az. 30° w odległości poziomej 37m od anteny sektorowej az. 60°	0.3-2.0	<1.0*	<1.0*	<1.0*	1.3	0.05	52°38'31.2" 20°56'43.1"
24	PKP na az. 45° w odległości poziomej 45m od anteny sektorowej az. 60°	0.3-2.0	<1.0*	<1.0*	<1.0*	1.3	0.05	52°38'31.2" 20°56'43.8"
25	PKP na az. 75° w odległości poziomej 46m od anteny sektorowej az. 60°	0.3-2.0	<1.0*	<1.0*	<1.0*	1.3	0.05	52°38'30.8" 20°56'44.5"
26	PKP na az. 90° w odległości poziomej 30m od anteny sektorowej az. 60°	0.3-2.0	<1.0*	<1.0*	<1.0*	1.3	0.05	52°38'30.1" 20°56'43.8"
27	PKP na az. 106° w odległości poziomej 44m od anteny sektorowej az. 60°	0.3-2.0	<1.0*	<1.0*	<1.0*	1.3	0.05	52°38'29.8" 20°56'44.5"
28	PKP na az. 134° w odległości poziomej 27m od anteny sektorowej az. 180°	0.3-2.0	<1.0*	<1.0*	<1.0*	1.3	0.05	52°38'29.8" 20°56'43.1"
29	PKP na az. 150° w odległości poziomej 43m od anteny sektorowej az. 180°	0.3-2.0	<1.0*	<1.0*	<1.0*	1.3	0.05	52°38'29.0" 20°56'43.4"
30	PKP na az. 165° w odległości poziomej 57m od anteny sektorowej az. 180°	0.3-2.0	<1.0*	<1.0*	<1.0*	1.3	0.05	52°38'28.3" 20°56'43.1"
31	PKP na az. 195° w odległości poziomej 55m od anteny sektorowej az. 180°	0.3-2.0	<1.0*	<1.0*	<1.0*	1.3	0.05	52°38'28.3" 20°56'41.3"
32	PKP na az. 210° w odległości poziomej 36m od anteny sektorowej az. 180°	0.3-2.0	<1.0*	<1.0*	<1.0*	1.3	0.05	52°38'29.0" 20°56'41.3"
33	PKP na az. 226° w odległości poziomej 53m od anteny sektorowej az. 180°	0.3-2.0	<1.0*	<1.0*	<1.0*	1.3	0.05	52°38'29.0" 20°56'40.2"
34	PKP na az. 254° w odległości poziomej 53m od anteny sektorowej az. 300°	0.3-2.0	<1.0*	<1.0*	<1.0*	1.3	0.05	52°38'29.8" 20°56'39.5"
35	PKP na az. 270° w odległości poziomej 38m od anteny sektorowej az. 300°	0.3-2.0	<1.0*	<1.0*	<1.0*	1.3	0.05	52°38'30.1" 20°56'40.2"
36	PKP na az. 285° w odległości poziomej 50m od anteny sektorowej az. 300°	0.3-2.0	<1.0*	<1.0*	<1.0*	1.3	0.05	52°38'30.8" 20°56'39.5"
37	PKP na az. 315° w odległości poziomej 35m od anteny sektorowej az. 300°	0.3-2.0	<1.0*	<1.0*	<1.0*	1.3	0.05	52°38'31.2" 20°56'40.9"
-	GKP w odległości poziomej 362m od anteny sektorowej az. 60°	2.0	**2.1**	**2.1**	**2.1**	2.7	0.1	52°38'36.2" 20°56'58.9"
-	GKP w odległości poziomej 363m od anteny sektorowej az. 180°	2.0	1.8	1.8	1.8	2.4	0.08	52°38'18.6" 20°56'42.4"
-	GKP w odległości poziomej 364m od anteny sektorowej az. 300°	0.3-2.0	<1.0*	<1.0*	<1.0*	1.3	0.05	52°38'36.2" 20°56'25.4"

Sprawozdanie z badań bez pisemnej zgody laboratorium nie może być powielane inaczej niż w całości.
Wyniki przedstawione w niniejszym sprawozdaniu odnoszą się wyłącznie do badanego obiektu i do warunków i konfiguracji urządzeń w dniu wykonywania pomiarów.

Pole magnetyczne (wyznaczone na podstawie pomiaru wartości natężenia pola elektrycznego)

Nr pionu	Opis umiejscowienia pionu (punktu) pomiarowego	Wysokość pomiaru [m]	Wartość natężenia pola magnetycznego H [A/m][1]			Wartość natężenia pola magnetycznego powiększona o niepewność pomiaru[4] H [A/m]	Wskaźnikowa wartość poziomu emisji pól elektromagnetycznych WM_H[3]	Współrzędne geograficzne pionu (punktu) pomiarowego[2]
			Sonda SF-13	Sonda SF-14	Wartość			
1	DPP - w płaszczyźnie otworu okiennego budynku mieszkalnego, na parterze, Szkolna 8, Winnica	0.3-2.0	<0.003*	<0.003*	<0.003*	0.003	0.05	52°38'29.8" 20°56'43.8"
2	GKP w odległości poziomej 12m od anteny radioliniowej az. 57°	0.3-2.0	<0.003*	<0.003*	<0.003*	0.003	0.05	52°38'30.5" 20°56'42.7"
3	GKP w odległości poziomej 46m od anteny radioliniowej az. 57°	0.3-2.0	<0.003*	<0.003*	<0.003*	0.003	0.05	52°38'31.2" 20°56'44.2"
4	GKP w odległości poziomej 33m od anteny sektorowej az. 60°	0.3-2.0	<0.003*	<0.003*	<0.003*	0.003	0.05	52°38'30.8" 20°56'43.8"
5	GKP w odległości poziomej 66m od anteny sektorowej az. 60°	0.3-2.0	<0.003*	<0.003*	<0.003*	0.003	0.05	52°38'31.2" 20°56'45.2"
6	GKP w odległości poziomej 95m od anteny sektorowej az. 60°	0.3-2.0	<0.003*	<0.003*	<0.003*	0.003	0.05	52°38'31.9" 20°56'46.7"
7	GKP w odległości poziomej 126m od anteny sektorowej az. 60°	2.0	0.003	0.003	0.003	0.005	0.06	52°38'32.3" 20°56'48.1"
8	GKP w odległości poziomej 10m od anteny sektorowej az. 180°	0.3-2.0	<0.003*	<0.003*	<0.003*	0.003	0.05	52°38'29.8" 20°56'42.4"
9	GKP w odległości poziomej 47m od anteny sektorowej az. 180°	0.3-2.0	<0.003*	<0.003*	<0.003*	0.003	0.05	52°38'28.7" 20°56'42.0"
10	GKP w odległości poziomej 88m od anteny sektorowej az. 180°	0.3-2.0	<0.003*	<0.003*	<0.003*	0.003	0.05	52°38'27.2" 20°56'42.0"
11	GKP w odległości poziomej 126m od anteny sektorowej az. 180°	2.0	0.004	0.004	0.004	0.005	0.07	52°38'26.2" 20°56'42.0"
12	GKP w odległości poziomej 11m od anteny radioliniowej az. 244°	0.3-2.0	<0.003*	<0.003*	<0.003*	0.003	0.05	52°38'30.1" 20°56'41.6"
13	GKP w odległości poziomej 53m od anteny radioliniowej az. 244°	0.3-2.0	<0.003*	<0.003*	<0.003*	0.003	0.05	52°38'29.4" 20°56'39.5"
14	GKP w odległości poziomej 12m od anteny sektorowej az. 300°	0.3-2.0	<0.003*	<0.003*	<0.003*	0.003	0.05	52°38'30.5" 20°56'41.6"
15	GKP w odległości poziomej 49m od anteny sektorowej az. 300°	0.3-2.0	<0.003*	<0.003*	<0.003*	0.003	0.05	52°38'31.2" 20°56'39.8"
16	GKP w odległości poziomej 90m od anteny sektorowej az. 300°	0.3-2.0	<0.003*	<0.003*	<0.003*	0.003	0.05	52°38'31.9" 20°56'38.0"
17	GKP w odległości poziomej 123m od anteny sektorowej az. 300°	0.3-2.0	<0.003*	<0.003*	<0.003*	0.003	0.05	52°38'32.3" 20°56'36.6"
18	GKP w odległości poziomej 14m od anteny radioliniowej az. 331°	0.3-2.0	<0.003*	<0.003*	<0.003*	0.003	0.05	52°38'30.5" 20°56'42.0"
19	GKP w odległości poziomej 54m od anteny radioliniowej az. 331°	0.3-2.0	<0.003*	<0.003*	<0.003*	0.003	0.05	52°38'31.9" 20°56'40.9"
20	GKP w odległości poziomej 20m od anteny radioliniowej az. 342°	0.3-2.0	<0.003*	<0.003*	<0.003*	0.003	0.05	52°38'30.8" 20°56'42.0"
21	GKP w odległości poziomej 50m od anteny radioliniowej az. 342°	0.3-2.0	<0.003*	<0.003*	<0.003*	0.003	0.05	52°38'31.9" 20°56'41.3"
22	PKP na az. 14° w odległości poziomej 56m od anteny sektorowej az. 60°	0.3-2.0	<0.003*	<0.003*	<0.003*	0.003	0.05	52°38'31.9" 20°56'43.1"
23	PKP na az. 30° w odległości poziomej 37m od anteny sektorowej az. 60°	0.3-2.0	<0.003*	<0.003*	<0.003*	0.003	0.05	52°38'31.2" 20°56'43.1"
24	PKP na az. 45° w odległości poziomej 45m od anteny sektorowej az. 60°	0.3-2.0	<0.003*	<0.003*	<0.003*	0.003	0.05	52°38'31.2" 20°56'43.8"
25	PKP na az. 75° w odległości poziomej 46m od anteny sektorowej az. 60°	0.3-2.0	<0.003*	<0.003*	<0.003*	0.003	0.05	52°38'30.8" 20°56'44.5"
26	PKP na az. 90° w odległości poziomej 30m od anteny sektorowej az. 60°	0.3-2.0	<0.003*	<0.003*	<0.003*	0.003	0.05	52°38'30.1" 20°56'43.8"
27	PKP na az. 106° w odległości poziomej 44m od anteny sektorowej az. 60°	0.3-2.0	<0.003*	<0.003*	<0.003*	0.003	0.05	52°38'29.8" 20°56'44.5"
28	PKP na az. 134° w odległości poziomej 27m od anteny sektorowej az. 180°	0.3-2.0	<0.003*	<0.003*	<0.003*	0.003	0.05	52°38'29.8" 20°56'43.1"

Sprawozdanie z badań bez pisemnej zgody laboratorium nie może być powielane inaczej niż w całości.
Wyniki przedstawione w niniejszym sprawozdaniu odnoszą się wyłącznie do badanego obiektu i do warunków i konfiguracji urządzeń w dniu wykonywania pomiarów.

29	PKP na az. 150° w odległości poziomej 43m od anteny sektorowej az. 180°	0.3-2.0	<0.003*	<0.003*	<0.003*	0.003	0.05	52°38'29.0" 20°56'43.4"
30	PKP na az. 165° w odległości poziomej 57m od anteny sektorowej az. 180°	0.3-2.0	<0.003*	<0.003*	<0.003*	0.003	0.05	52°38'28.3" 20°56'43.1"
31	PKP na az. 195° w odległości poziomej 55m od anteny sektorowej az. 180°	0.3-2.0	<0.003*	<0.003*	<0.003*	0.003	0.05	52°38'28.3" 20°56'41.3"
32	PKP na az. 210° w odległości poziomej 36m od anteny sektorowej az. 180°	0.3-2.0	<0.003*	<0.003*	<0.003*	0.003	0.05	52°38'29.0" 20°56'41.3"
33	PKP na az. 226° w odległości poziomej 53m od anteny sektorowej az. 180°	0.3-2.0	<0.003*	<0.003*	<0.003*	0.003	0.05	52°38'29.0" 20°56'40.2"
34	PKP na az. 254° w odległości poziomej 53m od anteny sektorowej az. 300°	0.3-2.0	<0.003*	<0.003*	<0.003*	0.003	0.05	52°38'29.8" 20°56'39.5"
35	PKP na az. 270° w odległości poziomej 38m od anteny sektorowej az. 300°	0.3-2.0	<0.003*	<0.003*	<0.003*	0.003	0.05	52°38'30.1" 20°56'40.2"
36	PKP na az. 285° w odległości poziomej 50m od anteny sektorowej az. 300°	0.3-2.0	<0.003*	<0.003*	<0.003*	0.003	0.05	52°38'30.8" 20°56'39.5"
37	PKP na az. 315° w odległości poziomej 35m od anteny sektorowej az. 300°	0.3-2.0	<0.003*	<0.003*	<0.003*	0.003	0.05	52°38'31.2" 20°56'40.9"
-	GKP w odległości poziomej 362m od anteny sektorowej az. 60°	2.0	**0.006**	**0.006**	0.006	0.007	0.1	52°38'36.2" 20°56'58.9"
-	GKP w odległości poziomej 363m od anteny sektorowej az. 180°	2.0	0.005	0.005	0.005	0.006	0.09	52°38'18.6" 20°56'42.4"
-	GKP w odległości poziomej 364m od anteny sektorowej az. 300°	0.3-2.0	<0.003*	<0.003*	<0.003*	0.003	0.05	52°38'36.2" 20°56'25.4"

GKP – Główny Kierunek Pomiarowy
DPP – Dodatkowy Pion Pomiarowy
PKP – Pomocniczy Kierunek Pomiarowy
[1] wyniki oznaczone * są wynikami poniżej czułości zestawu pomiarowego i są wynikami spoza zakresu akredytacji. Do obliczenia wyniku skorygowanego przyjęto wartość skorelowaną z rzeczywistym wynikiem pomiaru - dolną granicę akredytowanego zakresu pomiarowego metody
[2] współrzędne geograficzne pozyskane metodą pomiaru bezpośredniego
[3] do wyznaczenia wartości wskaźnikowej WM_E i WM_H przyjęto na podstawie uzgodnień z klientem oraz rozpoznania źródeł, jako wartości dopuszczalne pola elektrycznego i magnetycznego odpowiednio 28 V/m i 0,073 A/m.
[4] do wyznaczenia niepewności dla wyników poniżej czułości zestawu pomiarowego, przyjęto niepewność dla minimalnej wartości z zakresu pomiarowego.
[5] maksymalna wartość chwilowa
Niepewność oszacowano zgodnie z dokumentem P-03 „Procedura nadzoru nad wyposażeniem" w postaci niepewności rozszerzonej wynikającej z niepewności standardowej pomnożonej przez współczynnik rozszerzenia k=2.
Całkowita szacowana niepewność rozszerzona składowej E wynosi odpowiednio:
sonda SF-13: 30.8% dla częstotliwości do 4 GHz, sonda SF-14: 25% dla częstotliwości do 4 GHz
Pomiar wykonany metodą 2 sond, opisaną w artykule Medycyna Pracy 2015;66(5):701–712 „Optymalizacja metodyki pomiaru wieloczęstotliwościowego pola elektromagnetycznego stacji bazowych telefonii komórkowej".

Umiejscowienie pionów (punktów) pomiarowych przedstawiono w załączniku nr 2 do niniejszego sprawozdania.

10. Omówienie wyników pomiarów

W związku z tym, że żadna z wartości zmierzonych, udokumentowanych w tabelach w pkt. 9, uzyskanych w skutek zastosowania pomiaru szerokopasmowego, powiększonego o rozszerzoną niepewność pomiaru U dla współczynnika rozszerzenia k = 2 nie przekroczyła 70% najniższej dopuszczalnej wartości składowej elektrycznej lub magnetycznej pola dla objętych pomiarami zakresów częstotliwości, nie uwzględnia się poprawek pomiarowych.

W wyniku zastosowania sposobu sprawdzenia dotrzymania dopuszczalnych poziomów pól elektromagnetycznych w środowisku, zgodnie pkt 25 ppkt 1 Rozporządzenia Ministra Klimatu z dnia 17 lutego 2020 r. (Dz. U. 2022, poz. 2630), w związku z tym, że żadna z wartości wskaźnikowych, udokumentowanych w tabelach w pkt. 9 nie przekracza wartości 1, stwierdza się, że w miejscach, w których wykonano pomiary w otoczeniu instalacji radiokomunikacyjnej 22529 (93030N!) WCI_WINNICA_WINNICA, dopuszczalne poziomy pól elektromagnetycznych w środowisku należy uznać za dotrzymane.

Sprawozdanie z badań bez pisemnej zgody laboratorium nie może być powielane inaczej niż w całości.
Wyniki przedstawione w niniejszym sprawozdaniu odnoszą się wyłącznie do badanego obiektu i do warunków i konfiguracji urządzeń w dniu wykonywania pomiarów.

11. Podstawa prawna

1) Ustawa z dnia 27 kwietnia 2001 r. Prawo ochrony środowiska (T. j. Dz. U. z 2025 r., poz. 647 z późn. zm.)
2) Rozporządzenie Ministra Zdrowia z dnia 17 grudnia 2019 r. w sprawie dopuszczalnych poziomów pól elektromagnetycznych w środowisku (Dz. U. 2019, poz. 2448)
3) Rozporządzenie Ministra Klimatu z dnia 17 lutego 2020 r. w sprawie sposobów sprawdzania dotrzymania dopuszczalnych poziomów pól elektromagnetycznych w środowisku (Dz. U. 2022, poz. 2630),
4) Akredytacja nr AB 419 wydana przez Polskie Centrum Akredytacji (wydanie nr 25 z dnia 01.09.2026 r.)

12. Spis załączników

Załącznik 1. Lokalizacja obiektu badań
Załącznik 2. Usytuowanie pionów (punktów) pomiarowych
Załącznik 3. Dokumentacja fotograficzna obiektu badań

13. Data wydania i autoryzowania sprawozdania

Obliczenia i sprawozdanie wykonał :

BARBARA STELMASZYK
Elektronicznie podpisany przez BARBARA STELMASZYK
Data: 2026.11.08 16:27:52 +01'00'

Sprawozdanie autoryzował:

Karolina Blanik
Elektronicznie podpisany przez Karolina Blanik
Data: 2026.11.10 12:39:31 +01'00'

Koniec sprawozdania

Sprawozdanie z badań bez pisemnej zgody laboratorium nie może być powielane inaczej niż w całości.
Wyniki przedstawione w niniejszym sprawozdaniu odnoszą się wyłącznie do badanego obiektu i do warunków i konfiguracji urządzeń w dniu wykonywania pomiarów.

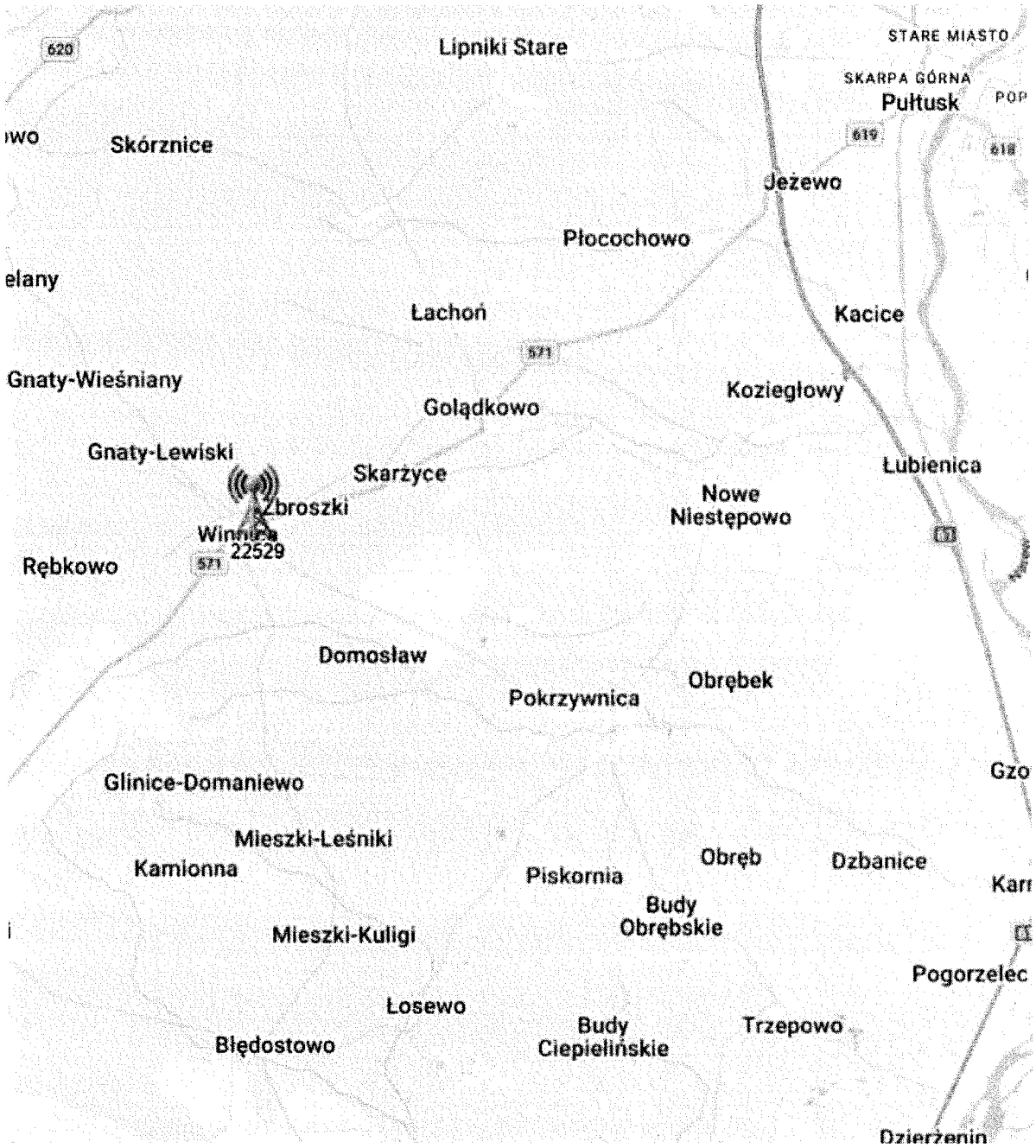

Załącznik nr 1	Instalacja radiokomunikacyjna T-Mobile Polska S.A. 22529 (93030N!) WCI_WINNICA_WINNICA Lokalizacja instalacji

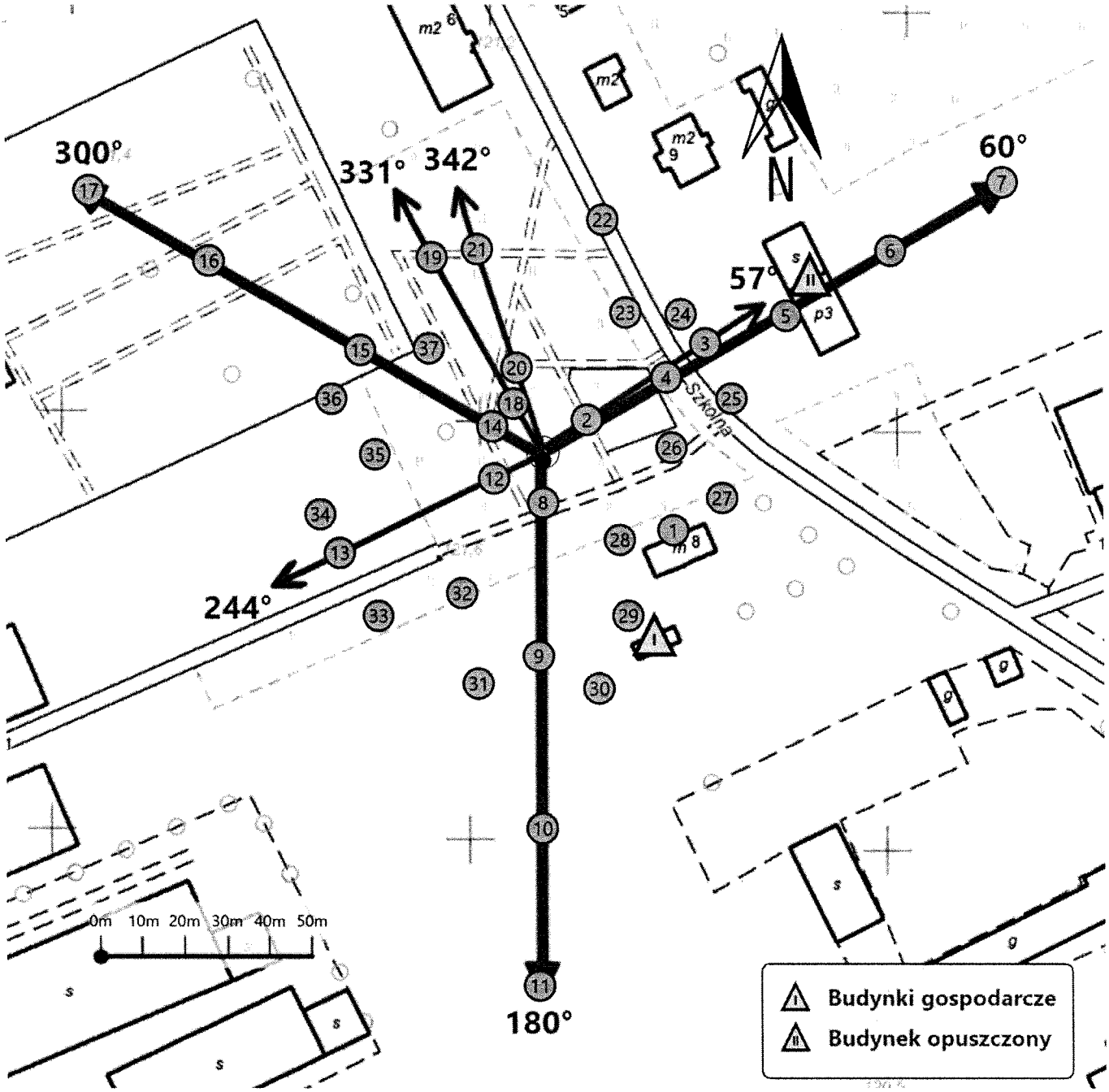

Załącznik nr 2	Instalacja radiokomunikacyjna T-Mobile Polska S.A. WCI_WINNICA_WINNICA (93030N!) Usytuowanie pionów pomiarowych w otoczeniu instalacji radiokomunikacyjnej
	Legenda: Źródło pola elektromagnetycznego; Brak dostępu; Pion pomiarowy; Kierunek oddziaływania anten sektorowych; Kierunek oddziaływania anten radioliniowych

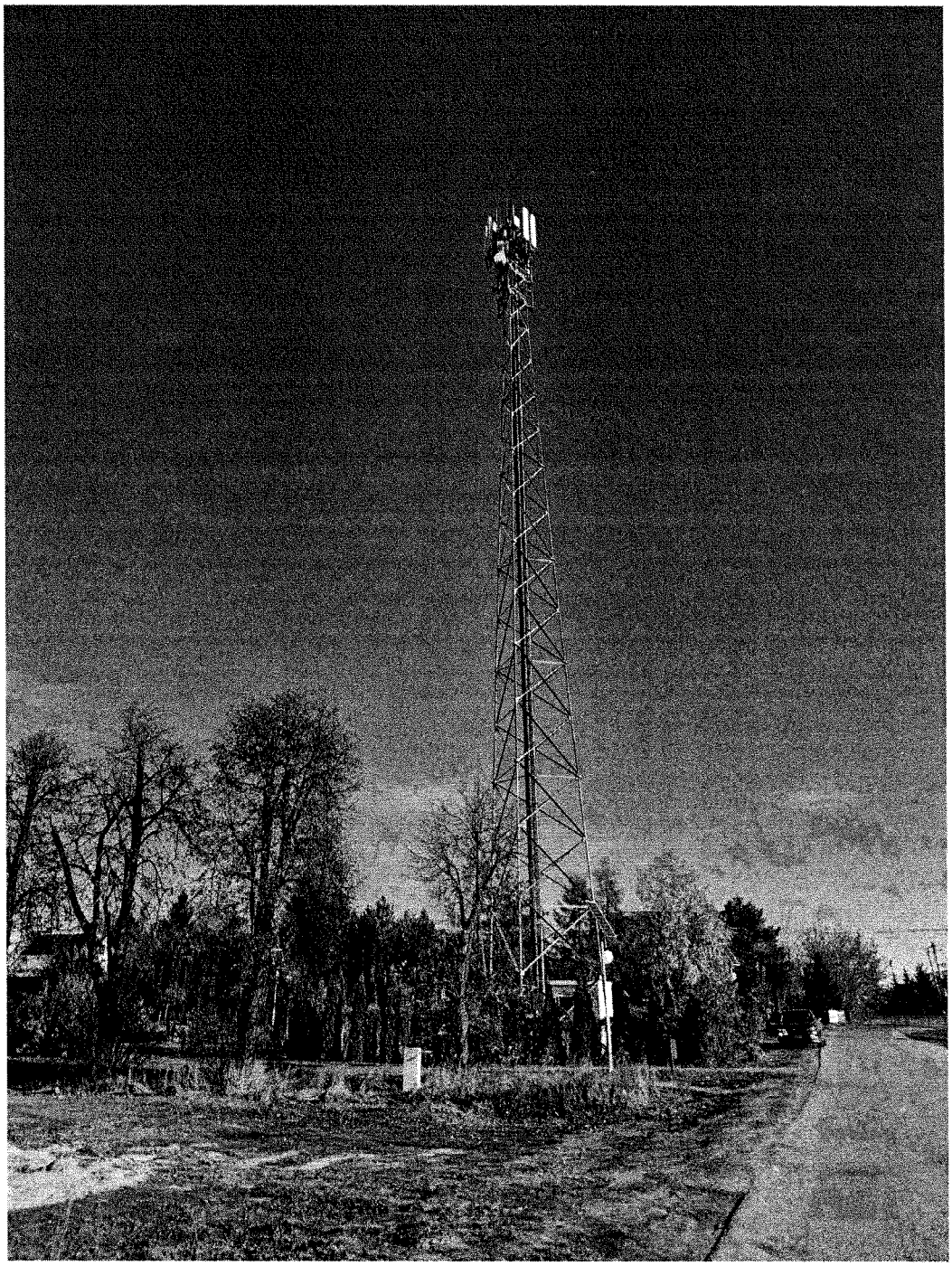

Załącznik nr 3	Instalacja radiokomunikacyjna T-Mobile Polska S.A. 22529 (93030N!) WCI_WINNICA_WINNICA Dokumentacja fotograficzna